## 薄膜トランスバース型マイクロ TEG モジュールの簡略化集中定数回路モデル

Simplified lumped-constant-circuit model of transverse-type thin-film micro-TEG modules 東工大未来研 °遠藤 弘之, 塩津 勇作, 菅原 聡

°H. Endou, Y. Shiotsu, and S. Sugahara, FIRST, Tokyo Inst. of Tech.

E-mail: endou.h.ac@m.titech.ac.jp

【はじめに】近年、医療・介護・ヘルスケアを対象とした Internet of Humans (IoH)が注目を集めている[1]. ウェアラブルデバイス(WD)は IoH における重要な Man-machine interface として期待されている。 我々は、このような WD に応用できるヒトの体温を用いた薄膜熱電発電(μTEG)モジュールの検討を進めている。 これまでに、μTEG モジュールの最適設計アルゴリズムや高精度集中定数回路(LCC)モデルなどを開発してきた[2-5]. この高精度 LCC モデルはデバイスの幾何学的形状から決定される LCC モデルに補正因子を導入することで、分布定数回路(DCC)モデルとの誤差を 2-15%程度にまで低減できる。 また、高速計算が可能であることから、計算量が膨大な構造最適化アルゴリズムを適用できる。 しかし、この高精度 LCC モデルは補正因子が多く、この調整が煩雑である。 今回は、より少ない補正因子で DCC モデルの出力を再現できるモデルを新たに提案し、高精度 LCC モデルとの比較を行い、その有用性を検証した。

【モジュール構造とモデリング】図 1(a)に薄膜トランスバース型 μTEG の構造を示す. 短冊形状のゼーベック素子が面内方向で接続され, 各接合部は交互に高温側プレートと低温側プレートに熱コンタクトされている. この μTEG 部は図 1(b)のようなモジュールに真空実装される[3]. ゼーベック素子には ZT=1 程度の BiTe 系材料を用い, ゼーベック素子領域の絶縁材料にはポーラスシリカ(PS)を用いた[2-5]. 図 2 にμTEG 部の集中定数熱抵抗ネットワークモデルを示す. ゼーベック素子とコンタクト電極の熱抵抗をそれ

ぞれ  $K_{S}$ ,  $K_{Lead}$  とし、これらの間に生じる寄生抵抗  $K_{PC}$  も考慮した [3]. また、絶縁材料の熱抵抗  $K_{SP}$  には広がり抵抗モデルを用い、これに残留直列抵抗  $K_{Res}$  を加えてある。前回の報告では、 $K_{S}$ ,  $K_{Lead}$ ,  $K_{PC}$ ,  $K_{Res}$  に補正因子を導入し(それぞれ  $\alpha_{S}$ ,  $\alpha_{Lead}$ ,  $\alpha_{PC}$ ,  $\alpha_{Res}$ ),  $P_{out}$  を決定する重要なパラメータである  $\mu$ TEG モジュールの熱抵抗  $K_{M}$ , ゼーベック素子にかかる温度の割合  $\beta$  の誤差が最小になるように各  $\alpha$  を決定した。このとき、各  $\alpha$  は素子対数  $m_{0}$  の関数として近似した(以下、 $4\alpha$ -LCC モデルと呼ぶ)[5]. DCC モデルとLCC モデルの最も大きな差はゼーベック素子とコンタクト電極との接合近傍における熱流の回り込みであるが、これは  $\alpha_{Lead}$ ,  $\alpha_{Res}$  のみで補正できる可能性がある。実際、出力  $P_{out}$  がピーク近傍では、 $\alpha_{S}$ ,  $\alpha_{PC}$  が 1 に近い、そこで今回は、DCC モデルの  $P_{out}$  がピーク近傍で誤差が最小になるように  $\alpha_{Lead}$ ,  $\alpha_{Res}$  を決定することで、LCC モデルを構築する(以下、 $2\alpha$ -LCC モデルと呼ぶ)。 $\alpha_{Lead}$ ,  $\alpha_{Res}$  は定数とし、また、 $P_{out}$  を指標としてこれらの値を決定した。

【設計結果と性能評価】 2 つの LCC モデルを用いて,薄膜トラン スバース型 μTEG モジュールの構造最適化を行った. この最適化 アルゴリズムではトレードオフパラメータ $\gamma$ を用い,  $P_{\text{out}}$  が最大化さ れるように構造が決定される[2-4]. 系にはヒトの産熱能力を考慮し た恒温動物モデルを用いた[3,4]. 設計に用いた固定パラメータ は, *D*=1cm, *t*<sub>S</sub>=1µm, 真空封じ壁の厚さ *x*=0.5mm と高さ *H*=5mm である. また, ヒトの体と外気との温度差⊿T₀=10K とした. 図 3 に各 モデルで最適設計された各種パラメータの γ 依存性を示す. 横軸 の各点で Pout が最大になるように構造が最適化されている. γの全 範囲において  $4\alpha$ -LCC モデルでは  $K_M$ ,  $\beta$  ともに誤差が小さくなる 1.1rように各補正因子が決定され( $K_{\rm M}$ : 0.94%,  $\beta$ : 0.11%), その結果,  $P_{\text{out}}$ の誤差は $\gamma$ の全範囲において1.9%と小さい(最大値に限れば 0.69%). 一方,  $2\alpha$ -LCC モデルでは  $P_{\text{out}}$  を指標として各因子を決 0.9定しているにもかかわらず、 $K_{\rm M}$ の誤差が 2.6%、 $\beta$  が 2.6%と小さく。 抑えられている. また, Pout の誤差も 2.0%と小さい(最大値に限れ ば 0.66%). したがって,  $2\alpha$ -LCC モデルでも高精度に  $P_{\text{out}}$  が再現 できる.

【参考文献】[1] S.R. Islam *et al.*, IEEE Access **3**, 678–708, 2015. [2] T. Kondo *et al.*, 2017 IEEE EDTM, 201–203. [3] Y. Shiotsu *et al.*, IEEE T-ED **67**, 3834–3842, 2020. [4] N. Chiwaki *et al.*, J. Micromech. Microeng. **28**, 094003, 2018. [5]遠藤他,第 68 回応用物理学会春季学術講演会,2021, 17p-Z17-2.

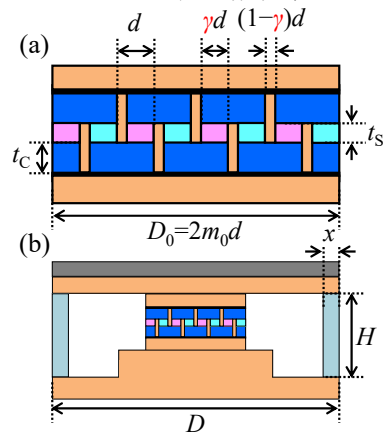


図 1. (a)薄膜トランスバース型 μTEG,(b)モジュール構造

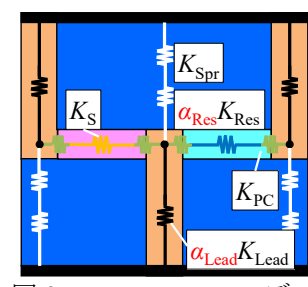


図 2. μTEG の LCC モデル

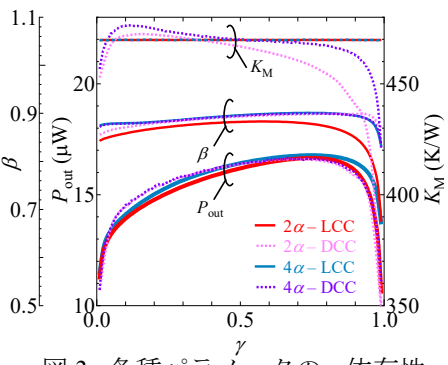


図 3. 各種パラメータのγ依存性